

1 序論

地盤と工構造物の耐震性の検討や地盤上の各種構造物の耐震設計を行う際、地震時における地盤や盛土等の振動特性を知る必要があるが、このためには任意の応力状態における土の動的弾性的性質を予測する必要がある。本論文は乱した砂質土の動的弾性的性質と共振性試験によって測定した結果をとりまとめたものである。

2 実験方法

(1) 実験装置 本研究に用いた共振性試験装置は巾50mm, H125mmの中実円柱状土試体の頂部で振動コイルにより振動を加え、このときの頂部の振動と圧電素子型のピロクアンプにより計測するように設計されている。なお、この試験機はHardin型の試験機と異り中空円柱状土試体を用いることであるが、これまでの実験結果より、両者に対応性のあることはすでにわかっている。

(2) 試料 実験に用いた試料は空気乾燥状態の豊浦標準砂で、その諸定数は次のとおりである。

比重: 2.649 均等係数: 1.46 最小向け比: 0.60% 最大向け比: 0.95%

(3) 土試体作成法 ゴムスリーブをエールド内に負圧により密着させた状態で、試料を5層に分けて所定の向け比になるようにタンパーで定ま固め、負圧を付けてセットする。

3 実験結果と考察

図1に示したようなNo1~No13までの各応力経路に沿って、等方圧縮状態から破壊直前までの任意の応力状態を測定を行なった結果、次に示す(1)~(5)までのことが明らかになった。なお、測定に用いたヒズミ振幅はすべて 6.4×10^{-3} である。

(1) せん断弾性係数Gと等方圧縮応力 σ_0 の関係

図2に示したように σ_0 と G_0 の両対数グラフ上を示すと、(A)式のようなる実験式が得られた。 $G = 1110 \times (\sigma_0)^{0.69}$ (A)

また、Seedが提案した実験式(B)を用いて筆者の実験値と比較するため、パラメータ k_2 に推定値 σ_0 の値を代入して比較した結果よく一致することがわかった。 $G = 1000 k_2 (\sigma_0)^{0.7}$ psf (B)

(2) 異なる応力経路によるGの変化特性

図1に示したNo1, 3, 5なる異なる応力経路に測った主応力比 σ_1/σ_3 を変化させ、破壊直前まで測定した結果、図3に示したように全く異なる変化過程を示すことがわかる。図3は等方圧縮状態でのせん断弾性係数 G_0 を任意の応力状態での G と除いて無次元化し、主応力比 σ_1/σ_3 に対して表わしたものである。No2, 4, 6やNo8, 9, 10に因りて全く同様な傾向が見られ、特に注目すべきことは、 $\sigma_1/\sigma_3 = 3.0$ のとき、 G_0 に対してNo3では385%増加し、No5ではほぼ同値で、No1では約20%減少している。これらと相対的に比較した場合、No1とNo3では585%の差がある。また、破壊における応力状態では G_0 に対し、No1が約49%、No5が約24%減少するのに対して、No3では20%増加した様子である。このような応力経路依存性と変化する要因は応力状態、すなわち σ_{cc} と σ_{vc} の連続と、土の力学過程の要因となる土の構造、グレイスケール一様性であると考えられる。

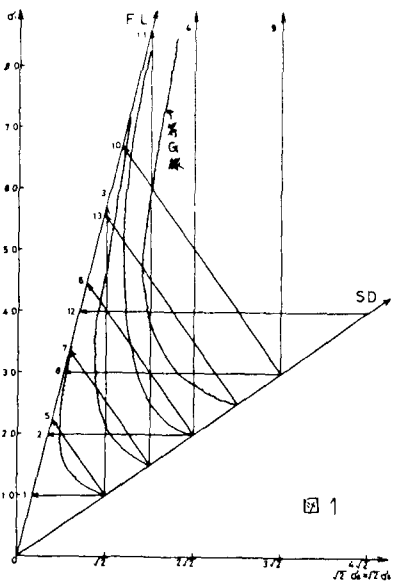
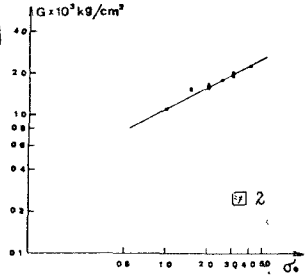


図1

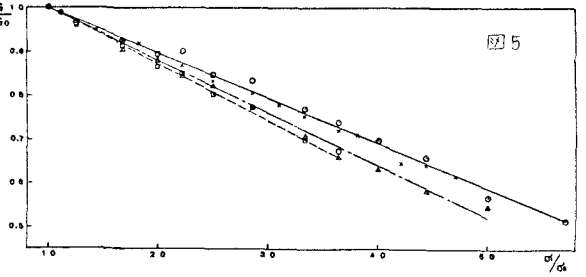
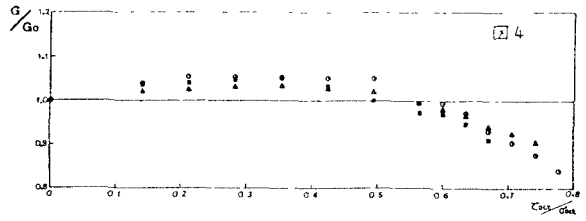
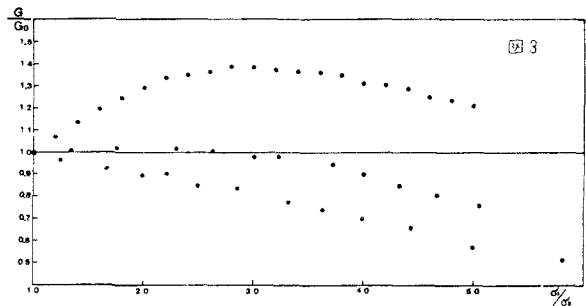
(3) 平均主応力一定試験における G と e の関係

図4は縦軸に G/G_0 , 横軸に e_{occ}/e_{occ} をとって標準化したものである。この図から明らかのように、間隙比による影響はほとんど見られず、 G が G_0 に等しくなる主応力比はほぼ 0.57 ~ 0.60 の間にある。従って粒子構造変形に与える e_{occ} の効果は主応力比 0.6 に際して確まるものと考えられる。また、Hardinらは e_{occ} 一定経路上では G が e_{occ} で表わされるとしたが、図から明らかに $\sigma_1/\sigma_3 \geq 3$ では成り立たず、 e_{occ} の影響を考慮する必要がある。



(4) $\sigma_1/\sigma_3 = 2, 8, 12$ の応力経路上の G と主応力比との関係

図5は上記経路の G を G_0 で除して無次元化し、主応力比に対して表わしたものである。図から明らかに G と主応力比は直線関係にあり、直線の傾きは間隙比 $e_{min} = 0.646, e_{max} = 0.779$ の間で変化させた結果わずかに変化し、直線を $y = ax + b$ と仮定すると a は e_{min} に対して -0.1031 , e_{max} に対して -0.1237 となった。(但し、 $y = G/G_0, x = \sigma_1/\sigma_3, 1 \leq x \leq 6$) また、 $x = 1$ のとき $y = 1$ ゆえ、上記の a の値から e_{min} に対して $b = 1.1031$, e_{max} に対して $b = 1.1237$ と一意に決まる。この値から間隙比によるパラメータ a , b の変化率と(A)式に間隙比の項を組み入れることにより、 $1 \leq \sigma_1/\sigma_3 \leq 6, 0.646 \leq e \leq 0.779$ の範囲における同応力経路上の任意の応力状態での G の算定式が得られ、次のとおりである。



$$G = 793 \frac{(2.17 - e)^2}{(1 + e)} (\sigma_1/\sigma_3)^{0.53} \times \{ 0.155 e (1 - \sigma_1/\sigma_3) - 0.00297 \times (\sigma_1/\sigma_3) + 1.003 \}$$

(5) レンドリック応力経路図上の等 G 線

図1に示した各応力経路上の決定点に得られた G の値を $G_{te} = G_{te} \cdot \left\{ \frac{(2.17 - e_e)^2}{1 + e_e} \right\} / \left\{ \frac{(2.17 - e_1)^2}{1 + e_1} \right\}$ なる G と e の関係式で間隙比統一してやると、等しい G の値をもつ点の間には明らかに類型関係があり、同図に示した曲線はほぼ双曲線に近いものと思われる。双曲線と仮定した場合、 $x, y = a$ とし、 y は破壊線と一致するものであり、 a は実験値として算定される。

参考文献

- 1) Vibrations of Soils and Foundations ; F.E. Richart, J.R.Hall, R.D.Woods
- 2) Shear Moduli and Damping Factors for Dynamic Response Analyses ; H.B.Seed, I.M.Idriss
- 3) Sand Stiffness under Various Triaxial Stress ; B.O.Hardin, W.L.Black
- 4) 建設省土研報告 第148号 ; 岩崎敏男, 龍岡文夫, 吉田精一
- 5) 第12回土質工学研究発表会講演集108(D-7) ; 柳沢栄司, 楊 燾亮